

大阪大学工学部 正員 伊藤富雄
同 同 ○松井保

1. まえがき

広範なコンシステムをもつ粘土・水系においては多様な流動現象がみられる。筆者らは現在までこれらの現象の本質的な機構を rate process 理論を適用して観察的観察から解明してきた。その結果、粘土・水系の流動機構は本質的には homogeneous process としてではなく、 heterogeneous process として表現でき、この考え方もとめて粘土・水系の流動機構モデルを提案し、とくに heterogeneous process として挙動するとと思われる高含水量の粘土ペーストを対象として検証してきた。本報告より今までに得られた成果をもとにし、 heterogeneous process としての粘土・水系の統一的な流動機構を明らかにするとともに、粘土・水系の一般的な变形時ににおける粘土粒子間の物理化学的相互作用について検討を加えたものである。

2. 代表的な粘土・水系に対する実験結果

正規粘土クリープ¹⁾、粘土ペーストの定常流动、粘土サスペンション、粘性流动の実験を行ない、rate process 理論を適用することにより得られた活性化エネルギーおよび結合数、含水量による変化を示す Fig. 1～3 および Fig. 4, 5 である。ただし、正規正規粘土については本概要集にある文献4)を参照されたい。

まず、活性化エネルギーについては、正規正規粘土に対して 30 kcal/mol が後の値ほぼ一定と考えられる。このことは、種々の正規粘土に対して Mitchell ら²⁾および Andersland³⁾によて確認された値とも一致している。Fig. 1 は w/F が 1～2 程度の粘土ペーストに対する得られた活性化エネルギーである。 w/F が 1.4 附近までは約 30 kcal/mol が後であるが、 $w/F > 1.4$ になると次第に減少する傾向がある。Fig. 2 は w/F が 1.4 以上の含水比をもつ粘土ペーストに対する活性化エネルギーを示す。明らかに活性化エネルギー ΔF が w/F の増加とともに減少し、 ΔF と $\log(w/F)$ の関係は粘土の種類によって多少差があるが近似的に直線関係であることが分かる。図中の直線、下端は実験により得られたニュートン流動の限界の濃度からプロットしたものである。Fig. 3 はニュートン流動を示す粘土サスペンションの ΔF であるが、ほぼ一定(約 4 kcal/mol)であることが分かる。

一方、結合数については、正規正規粘土に対して w/F の増加とともに $\log S$ が直線的に減少する。Fig. 4 は粘土ペーストに対する得られた $\log S$ と w/F の間に直線関係があるが、 $w/F > 2$ において $\log S$ と w/F の直線関係は認められなくなる。すなわち、含水比の増加とともに結合数が減少する傾向には至りがないが、含水比の増加に比して結合数の減少の割合が少ない。この量的な傾向はカオリン、千里粘土 A とも同じであるが、定量的にはやや異なる。以上のこととは、 w/F が 2 程度以下においてのみ w/F を指標に選ぶことによって種々の粘土に対する結合数と含水比の関係を一義的に表現できることを意味する。

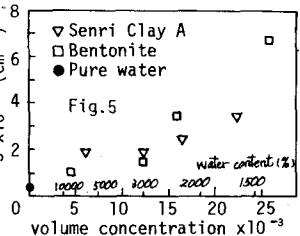
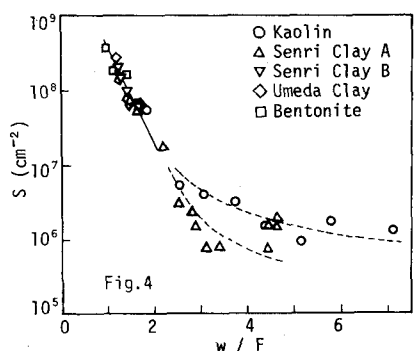
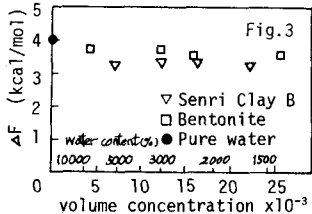
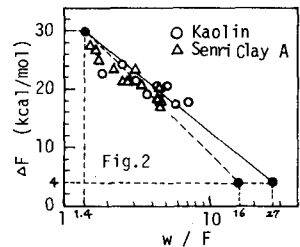
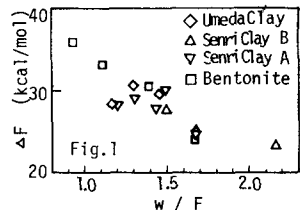


Fig. 5 を粘土サスペンションに対して得られた結合数と含水比(濃度)の関係である。含水比を増加とともに結合数が減少する。

3. Heterogeneous process としの統一的な流動機構

2. における得られた結果を統合して、粘土・水系における活性エネルギー ΔF および結合数 S を統一的に表示すれば、Fig. 6 および Fig. 7 のこととなる。すなわち、 (W/F) と $(W/F)_2$ の間に 2 種の流動単位系に支配される heterogeneous process が存在し、その両側ではそれぞれ異なる单一の流動単位系に支配される homogeneous process が存在する。 ΔF は $(W/F) < (W/F)_1$ のとき $(W/F) > (W/F)_2$ の homogeneous process に対してそれぞれ約 30 kcal/mol および 4 kcal/mol ほぼ一定値をとり、その間の heterogeneous process における ΔF は $\log(W/F)$ と直線関係にある 2 つの homogeneous process に接続する。全結合数 S は homogeneous および heterogeneous process 全体を通じて W/F の増加とともに減少していく。この傾向は粘土種類、応力履歴、ひずみ速度など種々の条件が同じであればつなに満足されるが、これらの条件が異なれば必ずしも満足されることはきがれない。

ただし、 $(W/F)_1$ 附近における全結合数 S は W/F を指標にとることによって粘土の種類にかかわらず一義的に表現できる。酸素一次結合数 S_0 および水素結合数 S_H の分布状態は Fig. 7 のようになると考えられる。 $(W/F)_1$ は粘土ペースト状の粘土・水系に対して粘土の種類にかかわらず 1.4 度である。このときに粘土粒子接合度の機構に変化が生ずることを意味してしまって重要な意味である。 $(W/F)_2$ は粘土サスペンション状の粘土・水系に対して 10 ~ 30 度である。粘土の種類によって異なる。これは、粘土サスペンションのニュートン流動を示す限界含水比(濃度)を意味する。

4. 流動単位に作用するせん断力

Fig. 8 はせん断強さ f と結合数 S の関係を示している。homogeneous process における $f_S \sim S$ 間に比例関係が確認できること。これは、破壊時の流動単位 1 個当たりに作用するせん断力 $f_S (= f_S/S)$ が種々の土に対してほぼ一定であることを意味する。つぎに、流動単位に作用するせん断力とせん断ひずみ γ の関係について検討する。Fig. 9 は正規圧密粘土。Multi-Increment 試験による $f \sim \gamma$ 関係を示す。縦軸に f/f_S 、横軸に γ をとると圧密圧力によらず近似的に同一の直線関係があり、すなわち双曲線関係にあることわかる。Kondner によれば土の巨視的な応力 - ひずみ関係は双曲線関係であることをより詳しく関係が粘土。状態量によらず同一であることから、それが粘土・水系、ダイラタンシーに起因しないせん断力の本質的な発生機構となりうることを意味している。したがって、rate process 理論にとどまない微視的機構が、粘土・水系。定常的な流動状態における粘土粒子接合度の微視的機構のみならず、粘土・水系の一般的な变形時における粘土粒子間の物理化学的な相互作用に関する一般的な概念となることが示唆される。

参考文献 1) 伊藤・松井・阿倍「粘土の流動機構について」第7回土質工学研究会(1972)

2) 伊藤・松井・阿倍「粘土の流動機構に関する考察」第27回土木学会(1972)

3) 伊藤・松井・阿倍「粘土の流動機構に関する考察」第28回(1973)

4) 同「正規圧密粘土の流動の本質について」第29回土木学会(1974)

5) Mitchell et al. 「Bonding, effective stress and strength of soils」 ASCE Vol. 95 (1969)

6) Aardsma et al. 「Soil deformation and activation energy」 Geotechn. 20 (1970)

7) Kondner 「Hyperbolic stress-strain response: cohesive soils」 ASCE Vol. 89 (1963)

